

電力中央研究所

○澤田義博

高橋 忠

関西電力株式会社

原田次夫

§1. まえがき

筆者等は、以前に、ロックフィルダムの地震時挙動を解明するために行なった一連の現場実験の一つとして、高さ90mの中心コア型のダムについて、弾性波動を用いてダムの内部物性を評価することを試み、堤体の弾性波速度分布について興味ある結果を得た。さらに、これから得られるダムの内部構造モデルに基づく理論計算の結果は、起振実験、常時微動観測及び自然地震観測によるダムの動的実測値を比較的良く説明することが示され、こうした弾性波動による方法がダムの内部物性を知るうえで有力な手段であると考えられる。^{(1), (2)}

しかし、フィルタイプダムに関するこの種の資料は非常に不足しており、又、ダムの弾性波速度分布を支配すると思われる築堤材料の沈下、圧密、含水比等の諸要因と弾性波速度との関係もまだ明らかではない。

そこで、今回、上述のダムについてさらに詳しい速度分布を測定するとともに、ダムの築堤過程における速度の変化を調べるために、築堤中のダムについて逐次速度分布を測定し、速度変化と上載荷重、含水比による影響などについて検討した。

§2. ダムの諸元、測定方法

測定を実施したダムは、高さ約90m(Aダム)と120m(Bダム)の二つのダムでいづれも中心コア型のロックフィルダムである。(図-1) このうちBダムは築堤段階に応じて数回の測定を行った。

速度分布の測定方法は、ダムの形状、埋設地震計、監査廊の有無などによって種々考えられるが、ダムの深部まで速度分布を詳しく測定するには、コアやロック部に埋設される相対沈下計測用パイプを利用して方法が最も有効である。これは地表面源より下方に伝播する波動を孔中に下した地震計で測定する方法で、得られるP波&S波パルス(図2)の走時から直ちに速度分布が求まる。以下はすべてこの方法による測定結果である。

§3. Aダムの速度分布

Aダムでは蓄水終了より一年後と二年後の二回測定を行なったが、コアの極く上部で速度の増加がみられた以外、ほぼ同じ結果がえられた。コア部及び上下流口

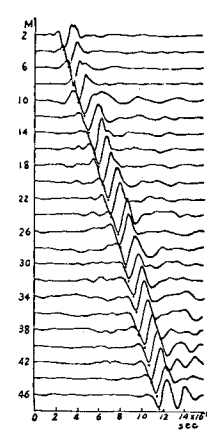
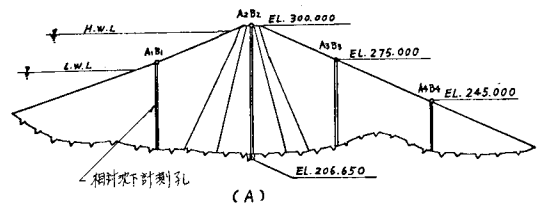
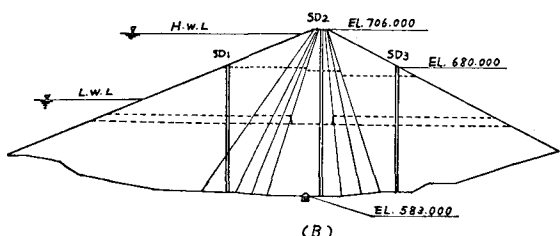


図-2 S波パルスの波形例



(A)



(B)

図-1 ダム断面図(A, Bダム)

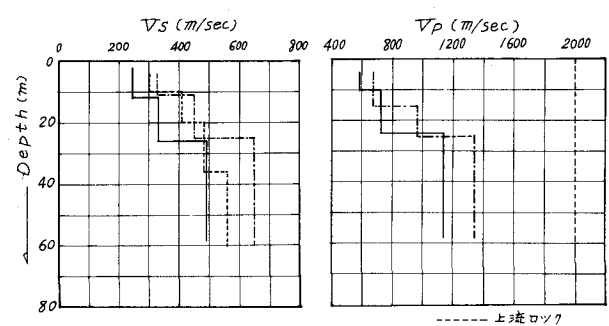


図-3 Aダムにおける速度分布

ツク部の S 波速度はダム表面から深部に従い急激に増大し(図-3), 橫てコア, 上流ロック,

下流ロックの順に大きな速度値を示す。上流ロックでの値が下流ロックより低下しているのは飽和による影響と考えられ, 低下の度合は 10~15% である。弾性波速度分布から得られるボアソン比ヤング率を図-4 に示す。下流ロックのボアソン比はほぼ 0.35 であるが上流ロックは 0.5 に近い。

これは飽和によって上流ロックの P 波速度が非常に速い値を示すことによる。ヤング率はダム深部で 15000~25000 であり EL. 150m 附近では風化砂岩, 泥岩の示す値に近い。

§4. B ダムの速度分布(築堤による変化)

図-1 の実線で示す築堤高において数回の測定を行った。堤体の S 波速度は築堤の進行に従い著しく増加し, 深部では 800 m/sec 以上の値が得られた(図-5)。

上流ロック(SD₁)と下流ロック(SD₂)

では速度分布が少し異なるが, 上載荷の増加による速度変化の形は各々の速度分布とほぼ相似形になっており, 堤体の速度と上載荷量との間にはある一定の比例関係がみられる。コアでは, EL. 6.75m と EL. 6.40m の測定では速度分布は相似形であるが, EL. 7.06m の測定結果では深部での速度の増加があまり認められない。この辺にコアの S 波速度の限界があるのかも知れないがコアの内部応力状態と対比してさらに詳しい考察が必要であろう。A, B ダムのコアの速度を比べてみると(図-6) A ダムの値が総じて小さい。コア材の違い, 輪圧方法の差も考えられるが, やはり飽和による影響であろう。なお, ロック部では両ダムの速度分布値は大体同じ値を示している。

§5. 速度と上載荷重の関係

S 波走時を $T = AZ^B$ (T : 走時, Z : 深度) とおくと, ある深度における S 波速度は $V_S = (AB)^{1/B} = \propto Z^{B}$ と表わされる。この方法で得られる速度分布は一般に図-7 に示すごとく係数 B (又は A) が, 深度 20~30m で変化し, この境界以浅では $B \approx 0.01 \sim 0.18$, 境界以深では場所により異なるが, ロック部; $V_S = (190 \sim 220) Z^{0.29 \sim 0.33}$, コア部; $T = 175 Z^{0.36 \sim 0.37}$ (B ダムの一部で $V_S = 205 Z^{0.28}$) となつた。一方, 砂などによる室内実験の結果では $V_S \propto Z^{0.1 \sim 0.2}$ (σ : 拘束圧) が知られており, 境界以深での B は室内実験値に近い値を示している。しかし, 応力のとり方及びレベルの違い, 粒径の問題等さらにつき後室実験と比較検討する必要がある。

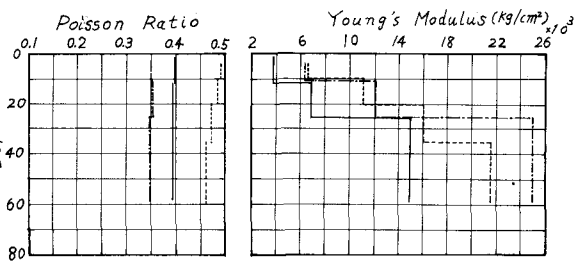


図-4 A ダムのボアソン比, ヤング率分布

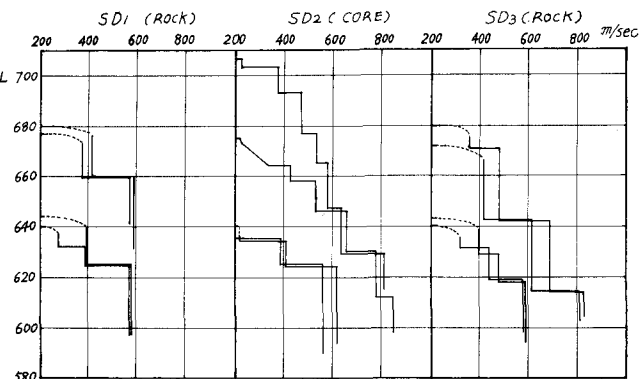


図-5 築堤過程における S 波速度の変化

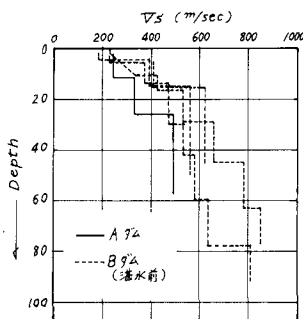


図-6 コア部の速度分布

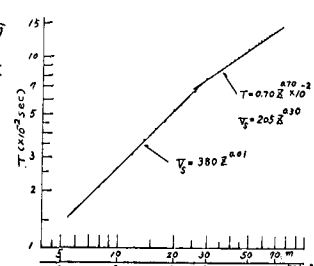


図-7 S 波の走時圖

(1) 高橋, 次田, 国生他 “ロックフィルダムの地震時の挙動について” 第 12 回地盤工学研究会発表会 1972. 7

(2) 次田, 高橋, 国生 “ロックフィルダムの弾性波速度分布と地震時挙動について” 第 9 回災害科学シンポジウム論文集 1972. 10

(3) 例えは, Hardin, B.O. and Richart, F.B., "Elastic Wave Velocities in Granular Soil" Proc. A.S.C.E., SM1, 1963